

مانیتورینگ پتانسیل میله‌های فولادی در بتون بمنظور تعیین مکان خوردگی

سعید رضا الله کرم

استادیار گروه مهندسی متالورژی و مواد - دانشکده فنی - دانشگاه تهران

(تاریخ دریافت ۷۸/۲/۱۸، تاریخ تصویب ۷۸/۱۰/۲۵)

چکیده

خوردگی آرماتورهای بتون یکی از مشکلات عظیم و رو به رشد در کشورهای صنعتی جهان محسوب می‌شود. بتونهای مسلح بطور گسترده در پروژه‌های ساختمانی نظیر پلها، تونلها، تأسیسات ساختمانی، پلاتفرمهای نفتی وغیره استفاده می‌شوند. در حال حاضر خودگی آرماتورها بعنوان یک مشکل شناخته شده پذیرفته گردیده است و روش‌های اصولی و قابل اطمینان جهت کاهش هزینه‌های ناشی از تعمیر و افزایش طول عمر سازه‌های بتونی به کار گرفته می‌شوند.

در این مقاله بررسی رفتار خوردگی آرماتورها از طریق مانیتورینگ پتانسیل بوسیله دو الگومل مورد ارزیابی واقع شده است. نتایج حاصل از این تکنیک نشان‌دهنده قابلیت آن در تعیین نواحی آندی و کاتدی بتون و نهایتاً شناسایی مکان‌های خوردگی در آرماتورها می‌باشد. برای این منظور از دو نمونه مسطح بتونی استفاده شده است. تغییرات پتانسیل نسبت به زمان به صورت نقوشی که شامل طیف رنگهای مختلف می‌باشد ارائه گردیده است. این تکنیک قادر است که بعنوان یک سیستم عامل و اخطر دهنده جهت جلوگیری از وقایع ناگوار ناشی از خسارات خوردگی آرماتورها در تأسیسات بتونی مورد استفاده قرار گیرد.

واژه‌های کلیدی : مانیتورینگ پتانسیل، تغییرات پتانسیل خوردگی میله‌های فولادی، کوپله‌های گالوانیک، نقاط آندی و کاتدی، نقشه‌های پتانسیل های الکتروشیمیایی

مقدمه

در آمریکا می‌توانسته وجود داشته باشد [۴] در مقایسه می‌توان انتظار داشت که در رابطه با مشکلات خوردگی بتونهای مسلح در ایران نیز مقادیر قابل توجهی جهت هزینه بازسازی و نگهداری تأسیسات و پلهای موصلاتی می‌شود که با استفاده از برنامه‌ریزیهای اصولی می‌توان به میزان قابل توجهی این هزینه‌ها را کاهش داد.

بنابراین این اظهارات استرداد فول^۳ ساختمان بتون نظیر یک الکتروولیت می‌باشد که در اثر جذب نمک از مقاومت الکتریکی آن کاسته می‌شود [۵]. بتون نیز نظیر خاک در اثر کاهش مقاومت الکتریکی سبب خوردگی فلزات مدفون در آن می‌گردد. در بسیاری از مقالات حد بحرانی این مقاومت الکتریکی برای بتون Ω_{cm}^{10000} تعیین شده است [۶-۷]. در مجموع عواملی که باعث تسریع در فرآیند خوردگی آرماتورها می‌باشند عبارتند از حد رطوبت، مقدار نمک و اکسیژن محلول که این پارامترها در کل عوامل خوردگی در خاک نیز محسوب می‌شوند. متأسفانه بیشتر آزمایشات خوردگی بتون جنبه آزمایشگاهی داشته، چنانچه نتایج اینگونه آزمایشات را نمی‌توان بطور مستقیم با خوردگی موضعی و ماکروبیلهایی که در

بتونهای مسلح بطرق مختلف مورد حمله خوردگی واقع می‌شوند. در مورد پلهای موصلاتی یکی از عوامل خوردگی آرماتورها از طریق استفاده از نمک جهت جلوگیری از یخ زدن سطوح بتونی صورت می‌گیرد. خوردگی آرماتورها عموماً باعث تخریب پلهای و ستونهای آنها شده و فجایع غیرقابل جبران بدنبال خواهد داشت. از معروف‌ترین وقایع اخیر می‌توان از ریزش سقف کنگره برلین^۱ در آلمان و نیز سقف پارکینگ عمومی در میان‌سوتا^۲ در سالهای ۱۹۸۰ را نام برد که معرف این نوع خوردگی می‌باشد [۱-۲].

پدیده خوردگی بتون یک حقیقت غیرقابل انکار است که در بیشتر موارد توسط نفوذ کلر و یا دی‌اکسید کربن و تخریب محیط قلیایی بتون صورت می‌پذیرد. در آمریکا خسارات ناشی از خوردگی بتونهای مسلح و تأسیسات بتونی میلیاردها دلار تخمین زده می‌شود [۳]. طبق برآوردهای بعمل آمده در سال ۱۹۸۵ در آمریکا بیش از ۵۰۰۰۰۰ پل موصلاتی نیازمند رسیدگی بوده‌اند [۴]. بررسیهای انجام شده در همان سال نشان می‌دهند که امکان صرفه‌جویی بیش از ۵۰۰ میلیون دلار تنها در رابطه با خوردگی پلهای

برای این منظور از یک نیم پیل و یا دو الکترود مرجع مشابه برای مانیتورینگ پتانسیل استفاده می‌شود. الکترود مرجع می‌تواند الکترود مس سولفات مس، الکترود نقره و یا الکترود کالومل باشد. هانس آرپ و همکارانش (Hans Arup et al) معتقدند که برای آزمایشات خوردگی آرماتورها در بتن، توسط استفاده از الکترود مرجع کالومل نتایج بهتری حاصل می‌گردد تا الکترود مس - سولفات مس [۱۲]. ولی در عین حال بسیاری از بررسیهای انجام شده، توسط الکترود مس - سولفات مس صورت گرفته است.

عوامل موثر در اندازه‌گیری پتانسیل خوردگی

مانیتورینگ پتانسیل یکی از متداولترین روش‌های غیر مخرب در شناسایی خوردگی آرماتورهای بتنهای مسلح می‌باشد. چنانچه از این تکنیک بطور اصولی و تحت شرایط برنامه‌ریزی شده استفاده گردد این روش می‌تواند در تشخیص خوردگی بتن قبل از آنکه از طریق مشاهدات عینی نظیر ترک خوردگی و یا وجود لکه‌های زنگ بر روی بتن به خوردگی آرماتورها پی برد، بسیار مفید واقع گردد. یکی از پارامترهای مهم در آزمایشات غیر مخرب تفسیر صحیح نتایج حاصله و نیز استفاده اصولی از پیشنهادات و راه حل‌های ارائه شده توسط استاندارها می‌باشد. وان داویر^۳ حد پتانسیل خوردگی در بتن را برای تعداد بسیاری از سطوح پلهای مواصلاتی و تأسیسات بتنی ارائه داده است [۱۴].

عواملی که در فرایند پتانسیل خوردگی میله‌های فولادی داخل بتن تأثیر می‌گذارند عبارتند از:

۱- پتانسیل اتصال^۴- این پتانسیل به عواملی از قبیل مقدار کربن و نیز غلظت کلر در داخل بتن ارتباط دارد. در رابطه با کربن حداکثر پتانسیلی که از طریق مدار نیم پیل اندازه‌گیری می‌شود، معمولاً حدود 100mV ثابت تراز پتانسیل واقعی آرماتورها می‌باشد. این موضوع می‌تواند بدلیل وجود لایه‌های حاوی دی‌اکسید کربن و عاری از آن در داخل بتن باشد که توسط تفاوت مابین غلظت یون هیدروکسیل (که از طریق الکترولیز $\text{Ca}(\text{OH})_2$ محلول در آب تخلخها حاصل می‌شود) و نیز غلظت دی‌اکسید کربن باشد. این فرمول ارائه شده جهت کنترل مقدار این پتانسیل اتصال عبارت است از [۱۶]:

$$E = (t_- - t_+) \frac{RT}{F} \ln \frac{a_+}{a_-}$$

t_- = تعداد آنیونهای انتقال یافته

t_+ = تعداد کاتیونهای انتقال یافته

a = اکتیویته یونهای محلول

آرماتورهای بتن در شرایط محیط واقعی اتفاق می‌افتد بررسی نمود. از طرفی روش‌های ابتدایی نظیر کشیدن زنجیر بر روی سطوح بتنی و بررسیهای آلوسیتکی از طریق تشدید همنوایی که در نتیجه تخریب داخلی بتن بوسیله خوردگی آرماتورها حاصل می‌شود تنها در شرایط پیشرفتۀ خوردگی مفید خواهد بود (این تکنیک از روش ضربه زدن بوسیله چکش بر روی سطح بتن منشعب شده است). همچنین بررسی خسارات ناشی از خوردگی آرماتورهای بتن در اثر تنش‌های داخلی حاصل از محصولات خوردگی می‌شود نیز بدلیل تأخیر در شناسایی مشکل آفرین خواهد بود. البته در رابطه با وجود ترک بر روی سطح بتن نیز بدلاً لای گوناگونی به غیر از تأثیرات محصولات خوردگی اشاره شده است. از آن جمله اینکه ترک در بتن می‌تواند توسط تخریب شیمیایی ساختمان بتن در تماس با محیط مخرب و یا توسط صدمات ناشی از بخ زدگی^۱ صورت گیرد [۸]. برخی از صاحب‌نظران بر این عقیده‌اند که ترکهایی که رشد آنها بطور عمودی بطرف میله‌های داخلی بتن صورت می‌گیرند از اهمیت کمتری نسبت به ترکهایی که موازی با میله‌ها می‌باشند برخوردارند [۹]. در هر حال احتمال اینکه ترکها سبب خوردگی آرماتورها می‌شوند و یا بالعکس، مبحثی است قابل تأمل و بررسی بیشتر.

از دیگر طرق آزمایشات خوردگی بتن استفاده از محلول فنول فتالین بر روی بتن و حصول رنگ بنفش که شرایط قلیایی و نهایتاً پسیو بودن آرماتورها را نمایان می‌سازد می‌باشد. از این آزمایش می‌توان جهت تعیین نفوذ دی‌اکسید کربن بداخل بتن استفاده کرد. همچنین برای اندازه‌گیری مقدار کلر و سولفات که از طریق دیفوزیون بداخل بتن رخنه کرده‌اند و نیز تجزیه شیمیایی آب داخل تخلخلهای بتن و سایز تخلخلها می‌توان از روش نمونه برداری که توسط سوراخ کردن بتن در اعماق مختلف صورت می‌گیرد و روش غلظت یابی^۲ استفاده نمود.

یکی دیگر از روش‌های غیر مخرب جهت بررسی خوردگی آرماتورهای بتن اندازه‌گیری پتانسیل خوردگی می‌باشد. تاریخچه استفاده از تکنیک مانیتورینگ پتانسیل خوردگی آرماتورهای بتن به سالهای اولیه ۱۹۷۰ میلادی باز می‌گردد [۱۰]. این تکنیک شناخته شده بطور گسترده در بررسی خوردگی پلهای مواصلاتی، پلاتفرمهای نفتی، تأسیسات ساختمانی بتنی، کف و دیواره استخراج‌های شنا و غیره بکار گرفته شده است [۱۱-۱۳].

انجام این‌گونه آزمایشات در استاندارد ملی آمریکا ANST/ASTMC 876-87 بطور جامع تشریح شده است [۱۴].

می تواند تغییر یابد [۱۸].

۳- تأثیرات پلاریزاسیون - بتونهای مسلح که داخل آب و یا خاک قرار می گیرند بدلیل محدودیت در رسیدن اکسیژن کافی (اختلاف دمشی هوا) پتانسیلهای بسیار منفی تری اتخاذ می کنند [۱۹] در بسیاری از موارد این تغییرات در پتانسیل می تواند سبب تفسیر غیر واقعی وضعیت خوردگی آرماتورها گردد. بطوریکه این موضوع در مورد نواحی پاشش آب بسیار محسوس می باشد. در چنین شرایطی نواحی انتقالی که شامل بخشی از بتون که خارج از آب قرار می گیرد، و یا قسمتی از بتون که خارج از سطح زمین قرار می گیرد، دارای پتانسیلهای منفی (در محدوده پتانسیلهای خوردگی وان داویر) خواهد بود. این تغییرات در پتانسیل بواسطه تأثیرات گالوانیک توسط قسمت فرو رفته در آب و یا مدفعون در خاک ایجاد می شود، که این پتانسیلهای منفی را نمی توان با خوردگی نواحی انتقالی ارتباط داد (ناحیه انتقالی برای سازه های بتونی بزرگ نظری پلترمهای نفتی واقع در دریا تا حدود $+5$ متر از سطح آب دریا تخمین زده می شود). این پتانسیلهای منفی از طریق پلاریزه کردن نواحی کاتدی خارج از آب و یا خاک توسط ناحیه آندی داخل آب و چسبیده به آن صورت می گیرد که در این صورت نواحی کاتدی بصورت نواحی فعال طبق مبانی پتانسیلهای خوردگی ارائه شده از طریق وان داویر تلقی خواهد شد [۲۰]. بنابراین اگر چه روش اندازه گیری پتانسیل خوردگی روشنی نسبتاً آسان است ولی بررسی نتایج حاصل از اینگونه آزمایشات نیازمند دقیق تر ایجاد و رعایت اصول فوق می باشد.

روش آزمایش

برای انجام این آزمایشات دو قطعه مسطح بتونی تهیه شد. اندازه هر یک عبارت بود از $120 \times 100 \times 8$ سانتیمتر و تعداد ۵ میله فولادی داخل هر یک کار گذاشته شده بود. بمنظور تسريع در خوردگی این نمونه های بتونی در یکی از آنها (بتون A) مقدار $\%3$ $CaCl_2$ بطور یکنواخت از طریق ملاط سیمان اضافه گردید. نمونه دوم (بتون B) از سه قسمت مجزا با درصد های مختلف $CaCl_2$ تولید گردید. به $\frac{1}{3}$ قطعه $60 \times 100 \times 8$ سانتیمتر) مقدار $\%3$ $CaCl_2$ اضافه گردید. و به $\frac{1}{3}$ آن ($30 \times 100 \times 8$ سانتیمتر) مقدار $\%1$ $CaCl_2$ اضافه گردید. به $\frac{1}{3}$ مابقی قطعه بتونی $CaCl_2$ اضافه نشد. حضور کلر در ملاط سیمان که از طریق اضافه نمودن $CaCl_2$ حاصل می گردد، در مقایسه با $NaCl$ سرعت خوردگی آرماتورها را بمقدار بیشتری افزایش میدهد [۲۱]. دلیل این موضوع بواسطه این است که سرعت

در مورد دیفوزیون کلر بداخل بتون، چنانچه نفوذ کلر بطور سطحی صورت گیرد و به آرماتورها نرسیده باشد، پتانسیل اتصال بتون به تغییرات غلظت (اکتیویته) کلر در داخل آب تخلخلها ایجاد خواهد شد. نظر به اینکه غلظت محلول نزدیک به سطح بتون بیشتر می باشد، بنابراین حداکثر پتانسیلی که از طریق نیم پیل بدست می آید بتون به فرمول فوق می بايستی $100mV$ منفی تر از پتانسیل واقعی آرماتورها باشد. آزمایشات انجام شده توسط براون و همکارانش (Brown et al) نتایج عکس تئوری فوق را نشان می دهد [۱۵]. در این آزمایشات پتانسیلهای اندازه گیری شده توسط مدار نیم پیل نزدیک به سطح بتون ثابت تر می باشد. بطوریکه به ازای هر میلی متر و تا عمق 5 میلی متر بداخل بتون $10mV$ افزایش در پتانسیل مشاهده شده است. همچنین برای پتانسیلهای از عمق 5 میلی متر تا عمق 30 میلی متر بداخل بتون به ازای هر میلی متر $2mV$ افزایش حاصل گردیده است. نتیجه اینکه بتون به اظهارات براون پتانسیل نیم پیل بر روی سطح بتون مغایر با خود پتانسیل خوردگی آرماتورها که توسط وان داویر پیشنهاد گردیده است می باشد (۰- 200 تا -350 میلی ولت، احتمال $\%50$ خوردگی) [۱۴].

۲- تأثیرات مقاومت بتون و سطح فوقانی آن - وجود پیلهای خوردگی در آرماتورها باعث ایجاد نواحی پسیو و فعال در آرماتورها شده که این نواحی تولید پیلهای گالوانیک می کنند. بطوریکه ناحیه خوردگی بصورت آندو ناحیه پسیو بصورت کاتد درمی آید.

ΔE در این ماکروپیلهای برابر خواهد بود با اختلاف پتانسیل مابین نواحی فعال و پسیو بر روی میله فولادی که این پتانسیل می تواند تا حدود $500mV$ برسد [۱۷].

از طرفی مقاومت الکتریکی بتون نسبت به مقدار رطوبت بسیار حساس می باشد [۱۸]. بنابراین افزایش مقاومت الکتریکی در بتونهای خشک و سطوح فوقانی (نظیر آسفالت) در اندازه گیری پتانسیل مؤثر خواهد بود. سطوح فوقانی با مقاومت الکتریکی بسیار بالا می توانند بعنوان مانعی بر سر راه شدت جریان خوردگی در اندازه گیری پتانسیل خوردگی آرماتورها تأثیرات نامطلوب ایجاد نمایند. این تأثیرات در نواحی آندی متوجه تریش از نواحی کاتدی پلاریزه شده می باشد. نتیجه اینکه قدر مطلق پتانسیل خوردگی که از طریق مدار نیم پیل اندازه گیری می شود مثبت تر از مقدار واقعی آن خواهد بود.

قدر مطلق این پتانسیل بستگی به ضخامت سطح فوقانی دارد تا جاییکه محدوده آن از مقداری ناچیز تا 200 الی 300 میلی ولت

نمکی مملو از ژل Agar و KCl اشباع استفاده نمود. تماس نوک پروب با سطح بتون بوسیله اسفنج مرطوب برقرار شده است. در این آزمایشات صرفاً به مانیتورینگ پتانسیل خوردنگ آرماتورها اکتفا شده است، ولی این روش می‌تواند در موادی که آرماتورها تحت حفاظت کاتدی واقع می‌شوندو نیز در شرایطی که تحت پلاریزاسیون واقع می‌گردند و همچنین زمانی که از ممانعت کننده‌های خوردنگ برای کاهش میزان خوردنگ استفاده می‌شوند بکار گرفته شود.

نتایج و بحث

نقشه (۱) شرایط تغییرات پتانسیل آرماتورهای نمونه A را در شروع آزمایش نشان می‌دهد. در این نقشه طیف رنگها از آبی پر رنگ تا آبی نسبتاً کمرنگ می‌باشند. رنگ آبی پر رنگ معرف شرایط پسیو در آرماتورها بوده که از پتانسیلهای نسبتاً نجیب و پایدار بوجود آمده است. در این حالت الکترود مرجع ساکن مقادیر منفی تر مانیتور می‌کند نسبت به الکترود مرجع ساکن مقادیر منفی تر پتانسیل را اندازه می‌گیرد، بطوریکه اختلاف پتانسیل این دو الکترود برای هر نقطه منجر به تولید مقادیر منفی برای پتانسیل آرماتورها خواهد شد. از طرفی تمامی نقوشی که برای این آزمایشات ارائه گردیده‌اند مابین پتانسیلهای -24 تا $+12mV$ که بترتیب مربوط به کاتدی‌ترین و آندی‌ترین نقاط آرماتورها می‌باشند و در آخرین آزمایش مانیتورینگ این اعداد اتخاذ گردیده‌اند تعیین گشته است. دلیل ارائه نقوش در دو محدوده مشخص پتانسیل بدان جهت می‌باشد که طیف رنگها در نقشه‌های مختلف شرایط پسیو و فعل آرماتورها را از ابتداء تا پایان آزمایشات به خوبی نمایان سازد. این روش در ترسیم چنین نقوشی متداول بوده و به آن Normalization گفته می‌شود [۲۵]. در نقشه (۱) ماکریزیم پتانسیل مانیتور شده مابین آندی‌ترین و کاتدی‌ترین نقاط مربوط به آرماتورها برابر با $8/2mV$ می‌باشد.

در نقشه (۲) نواحی آندی و کاتدی بوضوح بیشتری هویدا گردیده‌اند. در اثر گذشت زمان (۲ ماه بعد از شروع آزمایش) نواحی پسیو رفته فعل گردیده، ولی خوردنگ آرماتورها در قسمتی از سطح بتون بیشتر نمایان است. هر چه به طیف رنگهای قرمز و در انتهای زرد نزدیک‌تر می‌شویم، شرایط خوردنگ آرماتورها بمراتب بیشتر مشخص می‌شود. چنانچه اگر این نقشه در محدوده ماکریزیم پتانسیل مانیتور شده مابین آندی‌ترین و کاتدی‌تری نقاط روی سطح بتون یعنی پتانسیل $14/5mV$ ترسیم می‌گردد، تعداد نقاط آندی مربوط به ماکروپلهای پراکنده در آرماتورها بطور واضح تری

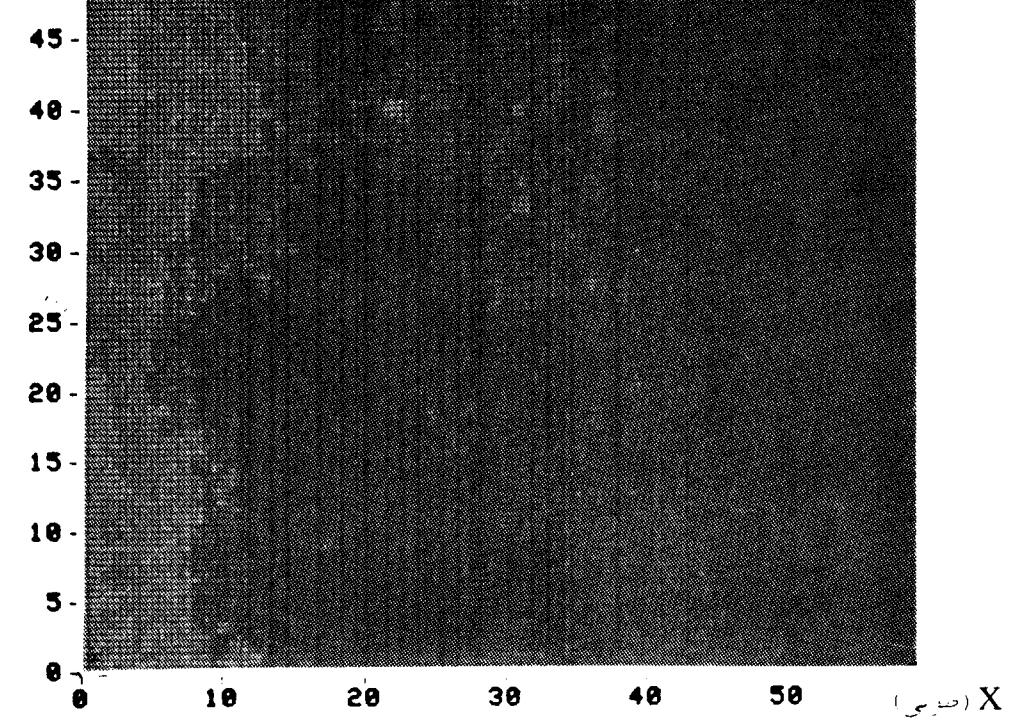
دیفوژیون یون کلر که از طریق $CaCl_2$ اضافه می‌شود در داخل سیمان سخت شده بمراتب بیش از $NaCl$ می‌باشد [۲۲]. در این نمونه‌های نسبت سیمان به ماسه $1:3$ و نسبت آب به سیمان $6/6$ بوده است. یکی از تأثیرات افزایش آب به سیمان، متخلخل شدن ساختمان بتون می‌باشد [۲۳]. این خلل سبب تسریع در دیفوژیون یونهای کلر شده و سهولت جذب اکسیژن را فراهم کرده و نیز باعث کاهش در مقاومت الکتریکی بتون می‌شود. در مقابل از H^+ محلول در این تخلخلها کاسته شده و زمینه شکست فیلم پسیو بر روی آرماتورها از طریق تأثیرات غلظت بحرانی کلر مهیا می‌گردد [۲۴]. نمونه‌ها پس از آماده شدن بداخل ظروفی که حاوی 5% $NaCl$ بود منتقل شدند. بطوریکه سطح نمونه‌ها خارج از محلول قرار می‌گرفتند تا اکسیژن به مقدار کافی بتواند بداخل بتون نفوذ کند.

مانیتورینگ پتانسیل - در آزمایشات مانیتورینگ پتانسیل نظر به اینکه قدر مطلق پتانسیل خوردنگی که از طریق مدار نیم پیل حاصل می‌شود صرفاً جهت تعیین مواضع خوردنگی در آرماتورها مورد استفاده قرار می‌گیرد و این قدر مطلق به جهاتی که قبلًا اشاره شد منجمله افت پتانسیل می‌تواند تا حدودی گمراه کننده باشد، بنابراین برای این آزمایشات از دو الکترود کاملاً مشابه کالومل استفاده گردید. اساساً اختلاف پتانسیلی که از طریق این دو الکترود اندازه گیری می‌شود می‌تواند جهت شناسایی کوپلهای گالوانیک حاصل از نقاط آندی و کاتدی بکار گرفته شود. موفقیت این تکنیک قبلًا در شناسایی خوردنگی شیاری در آلیاژهای منیزیم [۲۵] و نیز تعیین زمان و توسعه ترک ناشی از SCC و نیز مکان دقیق آن در کامپوزیت‌های آلومینیم به اثبات رسیده است [۲۶]. جهت کسب اطلاعات بیشتر در مورد این سیستم مانیتورینگ علاقه‌مندان چنانچه مایل باشند می‌توانند به راجع مذکور مراجعه نمایند. بطور خلاصه در این روش از دو الکترود مرجع کاملاً مشابه که یکی بطور ساکن داخل الکتروولیت قرار می‌گیرد و دیگری بطور سیستماتیک در دو جهت X (طولی) و Y (عرضی) سطح بتون را مانیتور می‌کند. فواصل مابین اندازه گیری‌های پتانسیل در این آزمایشات برابر با ۲ سانتی‌متر از هر طرف انتخاب شده است. در هر اندازه گیری متوسط ۱۰ پتانسیل مانیتور و از طریق کامپیوتر ضبط گردیده و نتایج بصورت نقوشی برای زمانهای مختلف بوسیله ترسیم گر ارائه گردیده است. در این نقشه‌ها مواضع آندی و کاتدی بوضوح نمایان می‌باشند. لازم به یادآوریست که این دو الکترود مرجع داخل دو پروب مجزا قرار گرفته‌اند زیرا در اندازه گیری پتانسیل تماس مستقیم کالومل با محیط خورنده جایز نیست و می‌بایستی از پل

COMMENCEMENT OF THE EXPERIMENT

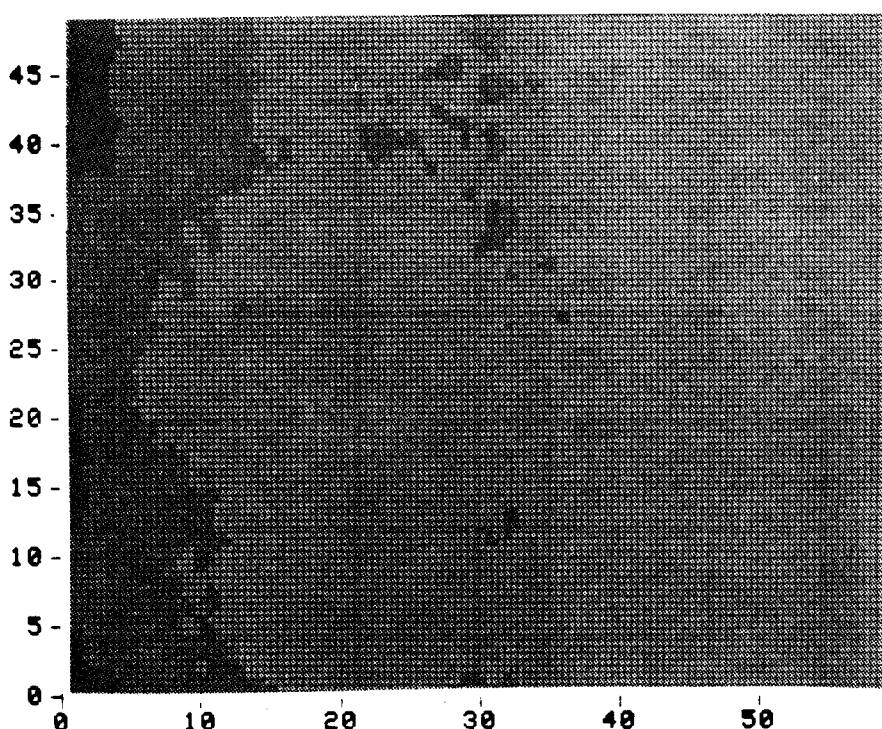
ANODE

ABOVE	120 0
110 0 -	120 0
100 0 -	110 0
90 0 -	100 0
80 0 -	90 0
70 0 -	80 0
60 0 -	70 0
50 0 -	60 0
40 0 -	50 0
30 0 -	40 0
20 0 -	30 0
10 0 -	20 0
0 0 -	10 0
-10 0 -	0 0
-20 0 -	-10 0
-30 0 -	-20 0
-40 0 -	-30 0
-50 0 -	-40 0
-60 0 -	-50 0
-70 0 -	-60 0
-80 0 -	-70 0
-90 0 -	-80 0
-100 0 -	-90 0
-110 0 -	-100 0
-120 0 -	-110 0
-130 0 -	-120 0
-140 0 -	-130 0
-150 0 -	-140 0
-160 0 -	-150 0
-170 0 -	-160 0
-180 0 -	-170 0
-190 0 -	-180 0
-200 0 -	-190 0
-210 0 -	-200 0
-220 0 -	-210 0
-230 0 -	-220 0
-240 0 -	-230 0
BELOW	-240 0



نقشه ۱ : تغییرات پتانسیل نمونه A در شروع آزمایش در محلول ۵٪ NaCl

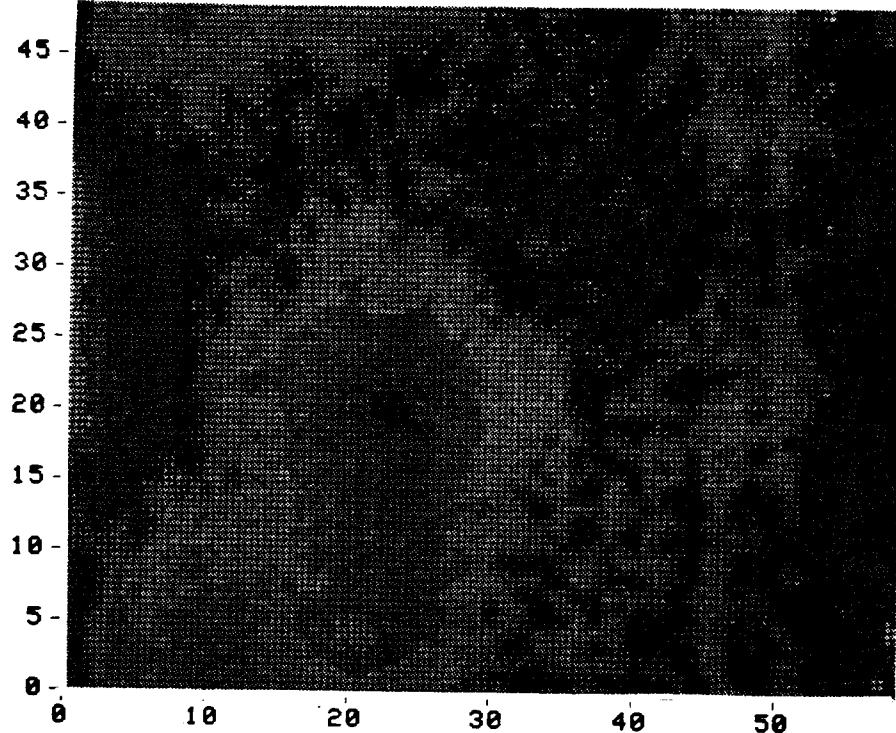
CATHODE



نقشه ۲ : تغییرات پتانسیل نمونه A پس از ۲ ماه در محلول ۵٪ NaCl

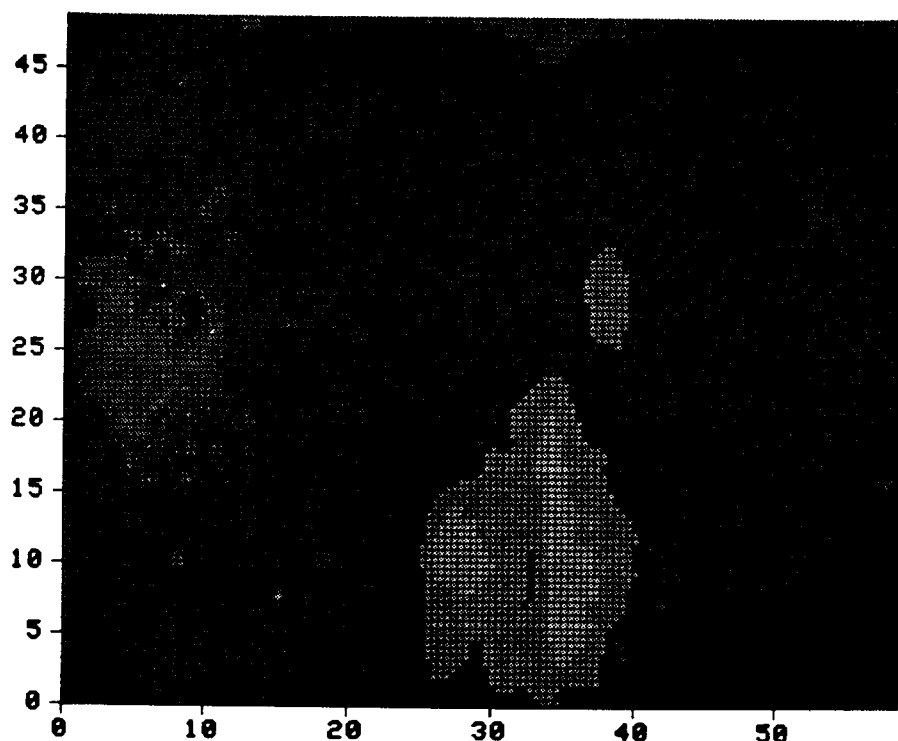
ANODE

ABOVE	120 0
110 0 -	120 0
100 0 -	110 0
90 0 -	100 0
80 0 -	90 0
70 0 -	80 0
60 0 -	70 0
50 0 -	60 0
40 0 -	50 0
30 0 -	40 0
20 0 -	30 0
10 0 -	20 0
0 0 -	10 0
-10 0 -	0 0
-20 0 -	-10 0
-30 0 -	-20 0
-40 0 -	-30 0
-50 0 -	-40 0
-60 0 -	-50 0
-70 0 -	-60 0
-80 0 -	-70 0
-90 0 -	-80 0
-100 0 -	-90 0
-110 0 -	-100 0
-120 0 -	-110 0
-130 0 -	-120 0
-140 0 -	-130 0
-150 0 -	-140 0
-160 0 -	-150 0
-170 0 -	-160 0
-180 0 -	-170 0
-190 0 -	-180 0
-200 0 -	-190 0
-210 0 -	-200 0
-220 0 -	-210 0
-230 0 -	-220 0
-240 0 -	-230 0
BELLOW	-240 0



نقشه ۳: تغییرات پتانسیل نمونه A پس از ۴ ماه در محلول ۵٪ NaCl

CATHODE



نقشه ۴: تغییرات پتانسیل نمونه A پس از ۶ ماه در محلول ۵٪ NaCl

با رنگ زرد مشخص شده است بمقدار بیشتری مورد حمله خوردگی واقع گردیده است. تغییرات پتانسیل در این نقشه برابر با 36mV می باشد.

تفاوت اعظم خوردگی فولاد در بتون و دیگر سیستم‌های خوردگی بواسطه دیفوزیون آهسته اکسیژن داخل ماتریس بتون و هیدروکسید کلیسم جامد یا لایه غلطی آهک در فاز مشترک فولاد/ بتون می باشد [۲۹]. این پارامترها بطور کامل مشهود می توانند سبب ایجاد اختلالات در کسب اطلاعات صحیح مربوط به واکنشهای الکتروشیمیایی شده و در نحوه تجزیه و تحلیل داده‌ها تاثیر گذارند.

یکی از مزایای ضبط و نگهداری داده‌ها از طریق کامپیوتر در تکنیک مانیتورینگ پتانسیل این می باشد که کامپیوتر قادر خواهد بود اطلاعات بسیاری را ضبط و به صور دلخواه ارائه کند. این موضوع می تواند در شناسایی خوردگی آرماتورها بسیار مفید واقع گردد، چنانچه نتایج ارائه شده معرف اهمیت این موضوع می باشد.

بعد از اتمام این آزمایش در پایان ۶ ماه نمونه A شکسته شد تا میله‌های فولادی داخل آن مورد بازرسی واقع شوند. همانطور که در تصویر ۱ دیده می شود، خوردگی در میله فولادی بوضوح پیداست. چنانچه این منطقه با ناحیه خوردگی واقع در نقشه (۴) مطابقت دارد.

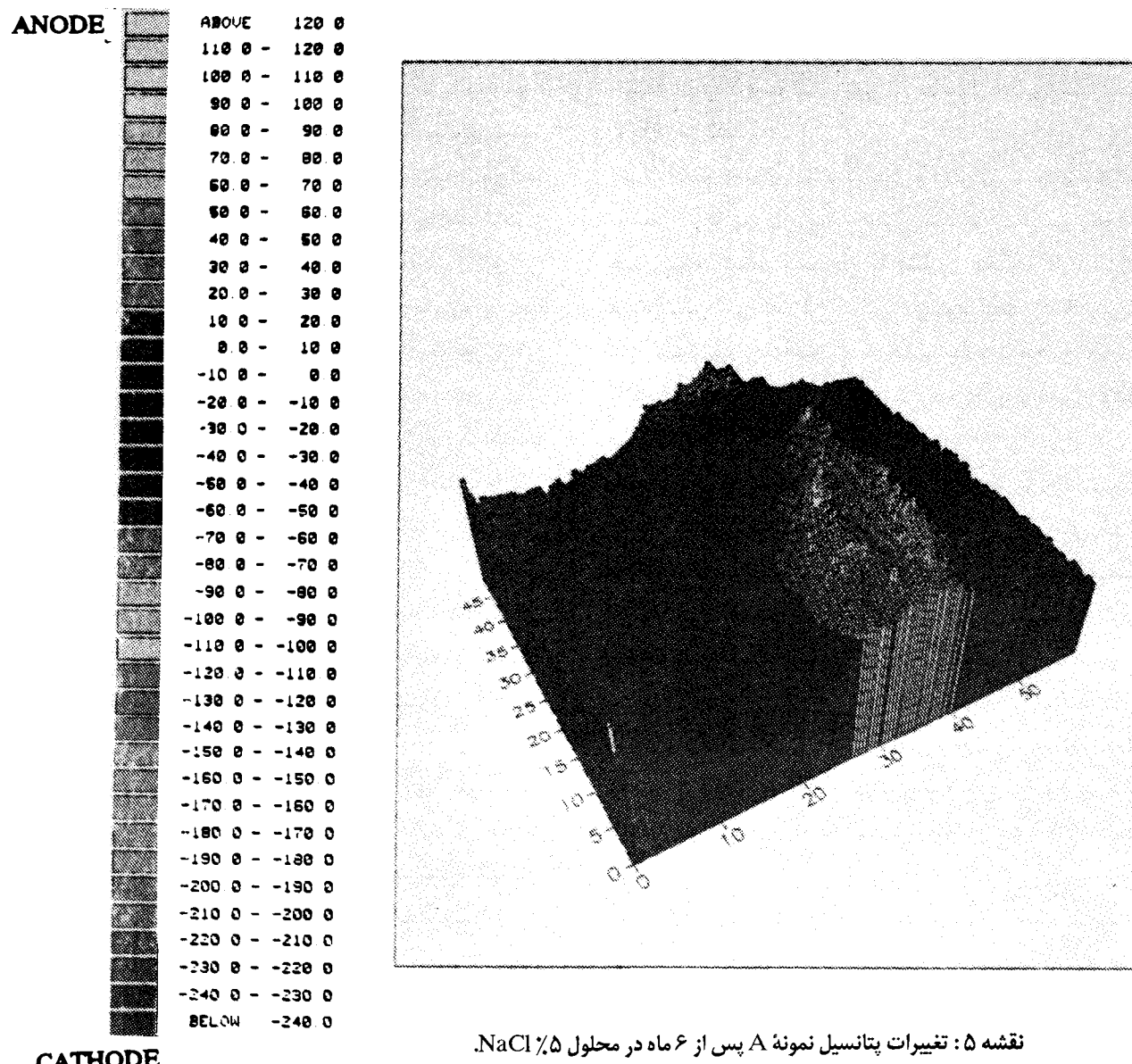
نقشه (۶) مربوط به نمونه B می باشد که بعد از ۶ ماه مانیتورینگ پتانسیل روی آن انجام شده است. این نمونه همانطور که قبل اشاره شد از سه ترکیب مجزا تشکیل شده است. همانطور که از این نقشه پیداست حدود نیمی از نمونه B کاملاً شرایط آندی آرماتورها را نشان می دهد. این نیمه از نمونه B شامل $\text{CaCl}_2 / ۳$ می باشد. در محدوده $\frac{1}{3}$ دیگر که چسبیده به این قسمت می باشد رفتار خوردگی به میزان کمتری مشهود می باشد. در این ناحیه طیف رنگها از قهوه‌ای کم رنگ به آبی کمرنگ تغییر گرده است. در این ناحیه غلظت CaCl_2 برابر با ۱% می باشد. در $\frac{1}{3}$ مابقی نمونه B که غلظت CaCl_2 برابر با صفر می باشد شرایط قلیایی محیط بتون بوضوح رویت می گردد. هدف از ساخت و انجام آزمایش بر روی نمونه B نشان دادن قابلیت سیستم مانیتورینگ در تشخیص و تفکیک نواحی مختلف بر روی نمونه‌ای که عمدتاً با ترکیبات مختلف تهیه شده می باشد. نقشه (۶) می تواند به عنوان شاهدی بر این مدعای تلقی گردد.

نتایج ارائه شده از طریق استفاده از سیستم مانیتورینگ پتانسیل بوسیله دو الکترود مرجع نشان داده است که چنین سیستمی می تواند برای شناسایی نواحی خوردگی در بتونهای مسلح بعنوان

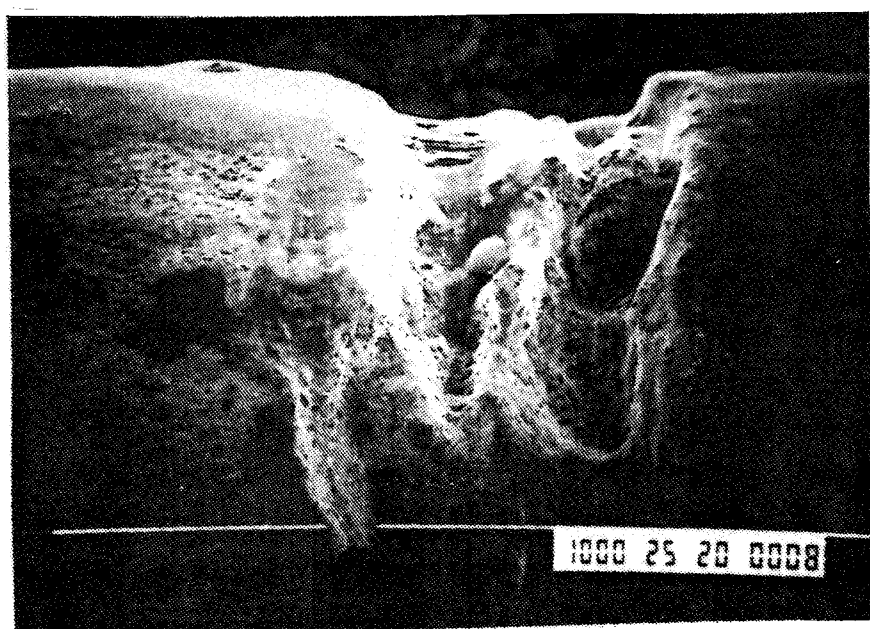
مشخص می شدند. در قسمتهایی که تخریب موضعی فیلم پسیو بر روی آرماتورها اتفاق می افتد، تداوم خوردگی تحت تأثیر وجود و یا عدم وجود ماکروپیلهای قرار خواهد گرفت. این ماکروپیلهای توسط همزیستی نواحی پسیو و فعال روی یک میله فولادی ایجاد خواهد شد که تولید کوپلهای گالوانیک می کنند. بنا به اظهارات آگیلار و همکارانش (Agilar et al) تداوم خوردگی تحت تأثیر این ماکروپیلهای خواهد بود. بطوریکه برای خوردگی آرماتورهای بتون تحت شرایط مشابه با این آزمایشات، انحلال فلز در نواحی اتفاق می افتد که تماس بیشتر با الکتروولیت وجود داشته باشد و توأماً احیاء اکسیژن بطور انتخابی در قسمتهایی از بتون صورت خواهد گرفت که از طریق آب اشباع نشده باشد. بررسی شدت جریان حاصل از تفاوت در اختلاف دمشی هواگواه بر دلالت شرایط مذکور عنوان شده است [۲۷].

در شرایط ایده‌آل حفاظت آرماتورها از طریق ایجاد لایه پسیو در pH های ۹ تا حدود ۱۳ (شرایط قلیایی در آب تخلخلها) صورت می پذیرد. تخریب موضعی این لایه پسیو در اثر کمبود و یا اختلاف غلظت اکسیژن و یا وجود کلر صورت می گیرد. همچنین از دیگر عوامل کاهش در شرایط آلکالی آب تخلخلها نفوذ دی اکسید کربن داخل بتون می باشد که نهایتاً تخریب لایه پسیو را بدنیال خواهد داشت. نوسانات پتانسیل و تغییر مواضع فعلی به پسیو و یا بالعکس توام با تغییرات پتانسیل از -۱۰۰ تا -۴۰mV (نسبت به الکترود مرجع نقره) برای مدت ۶ ماه گزارش شده است، بطوریکه تبدیل نواحی فعلی پس از گذشت زمان به نواحی پسیو و یا بالعکس در شناسایی مناطق خوردگی مشکل آفرین خواهد بود [۲۸]. این موضوع به اهمیت مانیتورینگ پتانسیل و ارائه نقشه‌های تغییرات پتانسیل نسبت به زمان برای زمانهای مختلف می افزاید. چنانچه برای تشخیص خوردگی بتونهای مسلح نایاب صرفاً به یکبار اندازه گیری پتانسیل به طور پراکنده بر روی سطح سازه بتونی اکتفا نمود. زیرا نتایج حاصل از اینگونه اندازه گیریها می توانند بسیار گمراه کننده باشند.

مراجعه به نقشه‌های (۳) و (۴) بازگو کننده این واقعیت می باشد. چنانچه بعد از گذشت حدود ۶ ماه، خوردگی در منطقه خاصی از بتون متتمرکز شده و همانطور که نقشه (۴) پیداست دیگر مناطق آندی تحت تأثیر این منطقه به مناطق غیر فعلت مبدل شده است. نقشه ۵ تصویر سه بعدی نقشه (۴) را نمایان می سازد. همانطور که مشاهده می شود، عمق خسارات ناشی از خوردگی آرماتورها در این نقشه بطور واضح تری هویدا می باشد. بررسی طیف رنگها نمایانگر شرایط مخرب در تمامی سطوح بتون A می باشد، ولی منطقه‌ای که

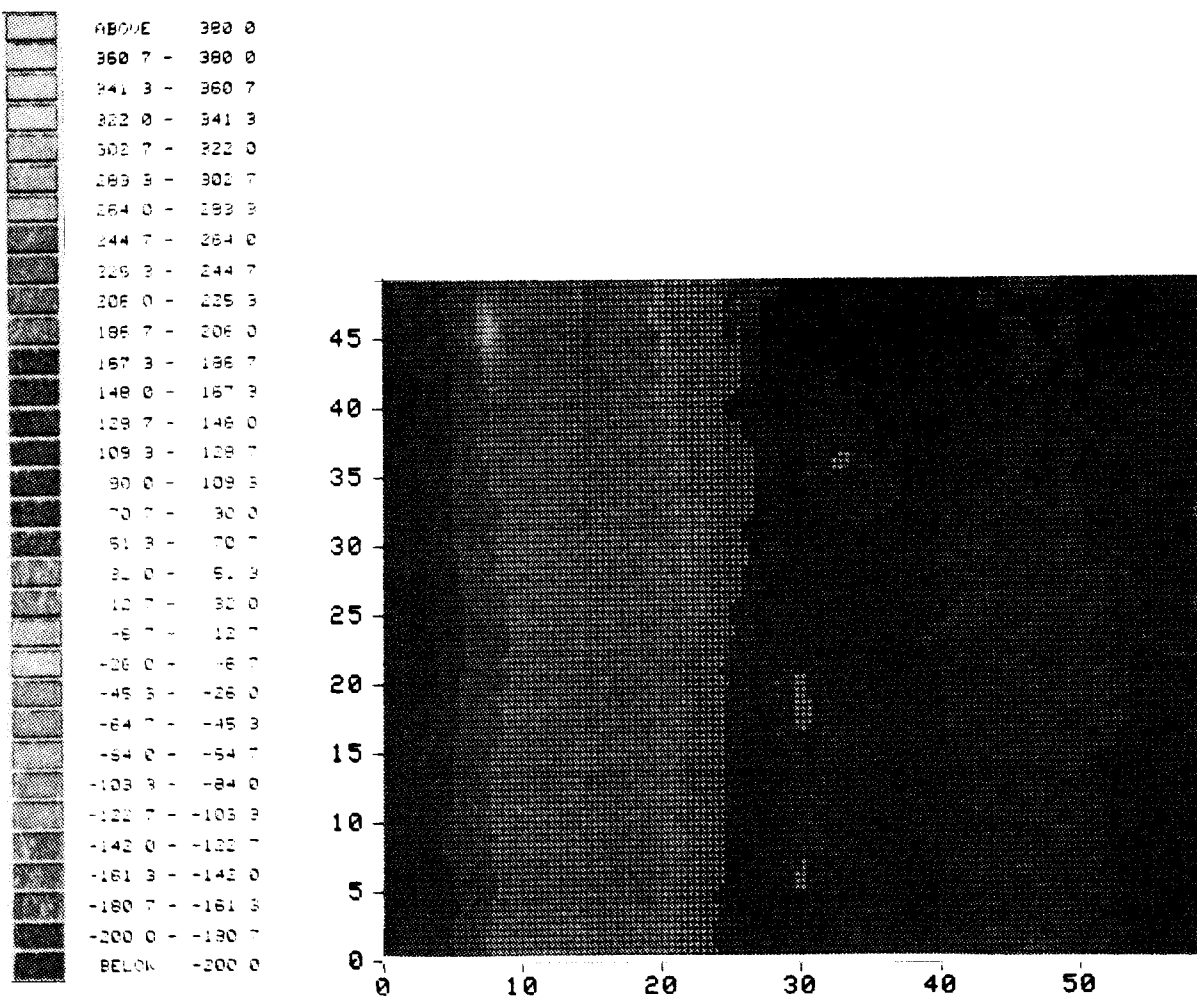


نقشه ۵: تغییرات پتانسیل نمونه A پس از ۶ ماه در محلول ۵٪ NaCl.



تصویر ۱: ناحیه خوردگی در یکی از میله های فولادی پس از برداشتن بتن.

ANODE



CATHODE

نقشه ۶: تغییرات پتانسیل نمونه B پس از ۶ ماه در محلول ۵٪ NaCl.

می باشد. نظر به اینکه پتانسیل خوردگی یک فرایند ترمودینامیک می باشد، بنابراین از این طریق نمی توان سرعت خوردگی را محاسبه نمود.

در این آزمایشات رفتار خوردگی از طریق مانیتورینگ تغییرات پتانسیل نسبت به زمان مورد ارزیابی واقع شده است. بطوریکه اختلاف پتانسیل حاصل از آندیترین (فعالترین) و کاتدیترین (پسیوترون) ناحیه مربوط به آرماتورها که از طریق دوالکترود مرجع کالومل اندازه گیری شده اند از $8/2 \text{mV}$ در زمان شروع آزمایشات به 36mV پس از ۶ ماه افزایش یافته است. بازرسی مناطق خورد شده روی میله های فولادی با نقشه های تغییرات پتانسیل کاملاً منطبق بوده اند.

یک سیستم مؤثر بکار گرفته شود، نقشه های مانیتورینگ پتانسیل در زمانهای مختلف جهت مطالعه رفتار خوردگی بسیار ارزشمند بوده و با برنامه ریزی اصولی می توان زمان شروع و توسعه حفره ها را در آرماتورها تعیین نمود. روش مانیتورینگ پتانسیل می تواند بعنوان یک سیستم اخطر دهنده به موقع جهت جلوگیری از وقایع ناگوار ناشی از تخریب پله اها، تاسیسات بتونی، پلاتفرمهای نفتی و غیره مورد استفاده واقع شود [۳۰].

نتیجه گیری

هدف از اندازه گیری پتانسیل آرماتورها در بتون تفکیک نواحی آندی و کاتدی و نیز شناسایی قسمتهای خورد شده در آرماتورها

نوسانات نواحی آندی و کاتدی نسبت به زمان دنبال کند. با استفاده از نتایج حاصله از این روش بهمراه اطلاعات مربوط به مقاومت الکتریکی بتن و نیز غلظت کلر در آب تخلخلهای موجود در بتن می‌توان سرعت خوردگی در آرماتورها را محاسبه نمود [۳۱].

این آزمایشات نشان داده‌اند که تکنیک مانیتورینگ پتانسیل بعنوان یک روش غیر مخرب قادر است که رفتار خوردگی بتنهای مسلح را تعیین نماید. این روش بعنوان یک سیستم اخطار دهنده سریع و مطمئن قادر است که روند خوردگی را بالاخص در رابطه با

مراجع

- 1 - Isecke, B. (1982). *Materials Performance*. Vol. 21, No. 12, P.36.
- 2 - (1984). "Salt flattens old garage." *Eng. Record*, June 4, P. ll.
- 3 - Litvan, G. and Bickley, J. (1987). "In concrete durability." *J. Scanlon, Ed., Am. Concrete Inst. SP 100*, Detroit, PP. 1503 - 1523.
- 4 - (1985). *Strategic highway research program*. Washington, DC, Sept. P.TRA 4 - 1.
- 5 - Stradfull, R. (1986). *Materials Protection*. Vol. 7, No. 3, P. 29.
- 6 - Hope, B. and Ip, A. (1987). "Material." *J., Am. Concrete Inst.*, July - Aug. PP. 306 - 314.
- 7 - Hope, B., Ip, A. and Manning, D. (1985). *Cement and concrete research*. Vol. is, PP. 525 - 534.
- 8 - Fujiwara, T. (1987). "In concrete durability." *J. Scanlon, Ed., Am. Concrete Inst. SP 100*. Detroit, PP. 805 - 188.
- 9 - Darwin, D., Manning, D., Hognestad, E., Beeby, A., Rice, P., and Ghowarwal, A. (1985). *Concrete international*. Vol. 7, No. 5, P. 20.
- 10 - Stradfull, R. F. (1973). "Halfcell potentials and the corrosion of steel in concrete." *Highway Research Record*. Vol. 433, P. 12.
- 11 - Cavalier, P. G and Vassie, P. R. (1981). *Proc. Instrn. Civ. Engrs.*, Vol. 70, P. 461.
- 12 - Arup, H. *Steel in concrete newsletter*. Korrosin Scentralen.
- 13 - Broomfield, J. P., longford, P. E. and Ewins, A. J. (1990). "Corrosion rates of strel in concrete." *ASTM STP 1065*, PP. 157-173.
- 14 - Van Daveer, J. R. (1975). *J. of am. concrete inst.*, Vol. 12, PP. 697 - 704.
- 15 - Browne, R. D., Geoghegan, M. P. and Baker, A. F. (1985). "Corrosion of reinforcement in concrete construction." *Ed.A.P. Crane*, London, PP. 201 - 221.
- 16 - Denaro, A. R. (1965). *Elementary electrochemistry*, Butterworth, hondon.
- 17 - Elsener, B. and Bohni, H. (1990). "Corrosion rates of sfeel in concrete." *ASTM STP 1065*, PP. 143 - 156.
- 18 - Browne, R. D. (1982). "Design prediction of the life for reinforced concrete in marine and other chloride, environments." *Durability of Building Materials*, Amsterdom, Vol. 1, PP. 113 - 125.
- 19 - Popovis, S., Simenov, Y. and Bozhinov, G. (1983). "Corrosion." *Soc. of chem. Industry*, london, P. 19.
- 20 - Baker, A. F. (1986). "Potential mapping teshnikes." *Semimar on Corrosion in concrete*, London Press Centre, 13 Hay Paper No.3.
- 21 - Hansson, C. M., Frolund, T. and Markussen, J.B. (1985). *Cement and conerete research*, Vol. 15, PP. 65 - 73.

- 22 - Kondo, R., Satake, M. and Ushiyama, H. (1974). *Proc., 28th general tech. session of the cement assoc. of Japan*, PP. 41 - 43.
- 23 - Byfors, K. (1986). *Nordic concrete research*, No. 5, PP. 27 - 38.
- 24 - Sorensen, B. and Maahn, E. (1982). *Nordic concrete research*, Pub. No. 1, P. 24.
- 25 - Allahkaram, S. R., Vasantasree, S. and Hocking, M. G.(1991). "New instrumentation method for mapping of SCC specimens using SRET." *Proc. International Corrosion conference*, Manchester, Vol.2, 22 - 24.
- الله کرم، س. ر. "سومین کنگره ملی خوردگی "Potential Mapping of an Aluminuim Composit Specimen " دانشکده فنی - دانشگاه تهران (۱۳۷۲).
- 27 - Aguilar, A., Sagues, A. A. and Powers, R. G. (1990). "Corrosion measurements of reinforcing steel in partially submerged conerete slabs." *ASTM STP 1065*, PP. 66 - 85.
- 28 - Gurusamy, K. N. and Geoghegan, M. P. (1985). "In corrosion of reinforcement in concete." Ed. C.L. Page, *Soc. of Chem. Ind.*, London, P. 340.
- 29 - Page, C. L. (1975). *Nature*, P.258.
- ۳۰ - الله کرم، س. ر. "بررسی تکنیکهای مانیتورینگ خوردگی در نیروگاهها" سمینار مدلهای حرارتی، پژوهشگاه نیرو، ۳۰ شهریور ۱۳۷۷، ص ۱۱۴ - ۱۱۸.
- 31 - Elsener, B. and Bohni, H. (1985). *Proc., Europ. congr. of corrosion*, Vol. 1, Nov. 19 - 21, P. 1.

واژه نامه :

- | | |
|------------------------|---------------|
| 1 - Freez - Thaw | یخ زدگی |
| 2 - Titration | غلهت یابی |
| 3 - Junction Potential | پتانسیل اتصال |

